

©1995 г.

ВРЕМЕНА ЖИЗНИ И ДИФФУЗИОННЫЕ ДЛИНЫ НЕРАВНОВЕСНЫХ НОСИТЕЛЕЙ ЗАРЯДА В SiC *p-n*-СТРУКТУРАХ

A.M. Стрельчук

Физико-технический институт им. А.Ф.Иоффе Российской академии наук,
194021, Санкт-Петербург, Россия
(Получена 14 сентября 1994 г. Принята к печати 21 сентября 1994 г.)

В работе систематизируются результаты исследования времен жизни и диффузионных длин неравновесных носителей заряда в *p-n*-структуратах на SiC, изготовленных методами сублимационной эпитаксии, ионного легирования, бесконтактной жидкостной эпитаксии, низкотемпературной жидкостной эпитаксии. Данные о временах жизни и диффузионных длинах получены на основе исследования вольт-амперных, релаксационных, фотоэлектрических характеристик. Установлена связь между величинами времени жизни, диффузионной длины и характером их температурных зависимостей — с одной стороны, и методом изготовления *p-n*-структур — с другой.

1. Введение. Объекты и методы исследования

Времена жизни (τ) и диффузионные длины (L) неравновесных носителей заряда (ННЗ) определяются структурой и качеством полупроводника, характеризуют ряд физических явлений и определяют эффективность работы многих приборов. Сведения о величинах τ и L в карбиде кремния приводятся во многих работах, однако систематических исследований почти не проводилось, экспериментальные данные отличаются значительным разбросом, причины которого в настоящее время недостаточно ясны. Можно выделить лишь работу [1], в которой выдвинуто предположение о связи величины L с характерной температурой технологического процесса и установлена обусловленность величины L такими технологическими операциями, как отжиг и закалка кристалла, работу [2], где показано, что L в эпитаксиальных слоях больше, чем в подложках, и обнаружена зависимость L от степени легирования эпитаксиальных слоев, работу [3], в которой исследовано релаксационное время жизни в различных типах диодов и предполагается влияние на время жизни электрических полей в исследуемых структурах. В очень немногих работах приводятся данные, позволяющие судить о времени жизни при различных температурах, и еще

Тип структур	Метод изготовления n -слоя (температура эпитаксии, концентрация нескомпенсированных доноров $N_d - N_a$)	Метод изготовления p -слоя (температура эпитаксии или отжига, концентрация нескомпенсированных акцепторов $N_a - N_d$)
СЭ	Сублимация в открытой ростовой ячейке (1800÷1900 °C, $10^{16} \div 10^{18}$ см $^{-3}$)	Сублимация в открытой ростовой ячейке (1800÷1900 °C, $\sim 10^{19}$ см $^{-3}$)
ИЛ	Сублимация в открытой ростовой ячейке (1800÷1900 °C, $10^{16} \div 10^{18}$ см $^{-3}$)	Ионное легирование и отжиг (~ 1800 °C, $\sim 5 \cdot 10^{19}$ см $^{-3}$)
БЖЭ	Бесконтейнерная жидкостная эпитаксия (1500÷1600 °C, $5 \cdot 10^{16} \div 10^{18}$ см $^{-3}$)	Бесконтейнерная жидкостная эпитаксия (1500÷1600 °C, $10^{19} \div 10^{20}$ см $^{-3}$)
НТЖЭ	Бесконтейнерная жидкостная эпитаксия (1500÷1600 °C, $5 \cdot 10^{17} \div 10^{18}$ см $^{-3}$)	Низкотемпературная жидкостная эпитаксия (1200÷1250 °C, $\sim 10^{19}$ см $^{-3}$)

меньше работ, в которых прямо обсуждается вопрос о температурной зависимости времени жизни (подробнее литературные данные см. в п. 4).

В данной работе обобщаются результаты исследования времен жизни и диффузионных длин неравновесных носителей в различных типах SiC-структур.

Исследовались $p^+ - n$ -структуры на SiC, изготовленные методами сублимационной эпитаксии (структуры СЭ), сублимационной эпитаксии и ионного легирования (структуры ИЛ), бесконтейнерной жидкостной эпитаксии (структуры БЖЭ), бесконтейнерной и контейнерной низкотемпературной жидкостных эпитаксий (структуры НТЖЭ) (таблица). Эпитаксиальные слои p - и n -типа проводимости структур СЭ и n -типа проводимости структур ИЛ выращивались методом сублимации в открытой ростовой ячейке [4]. Структуры ИЛ окончательно формировались имплантацией ионов алюминия в эпитаксиальный n -слой с последующим отжигом [5]. Эпитаксиальные слои n - и p -типа проводимости структур БЖЭ и n -типа проводимости структур НТЖЭ выращивались методом бесконтейнерной жидкостной эпитаксии [6]. Структуры НТЖЭ формировались эпитаксиальным выращиванием слоев p -типа проводимости из расплавов на основе галлия и олова [7]. В отдельных случаях эпитаксиальные p -слои структур СЭ, БЖЭ и НТЖЭ формировались прямо на n -подложках. Слои n -типа проводимости специально не легировались, основной донорной примесью в них является азот. Основной акцепторной примесью в слоях p -типа проводимости является алюминий. В качестве подложек в большинстве случаев использовались монокристаллы, выращенные методом Лели, а в некоторых случаях подложки изготавливались из объемных кристаллов [8]. Исследовались главным образом $p-n$ -структуры на основе политипа 6H-SiC, отдельные измерения проведены на $p-n$ -структурах

на основе политида $4H\text{-SiC}$. Формирование меза-структур и контактов производилось одинаковым образом для всех структур (см. [5,6]). Площади диодов были в диапазоне $10^{-4} \div 10^{-2} \text{ см}^2$. Эпитаксиальные $p^+ - n$ -переходы являлись резкими, а в структурах ИЛ $p^+ - n$ -переходы были плавными. Часть измерений диффузионных длин проведена на барьерах Шоттки.¹

Для определения τ и L использовалось несколько методов.

Одним из методов является определение τ из анализа прямых и обратных токов в $p-n$ -структуратах. Как известно, во всех моделях токов, обусловленных рекомбинационно-генерационными процессами в полупроводнике, используется в качестве параметра модели времени жизни неравновесных носителей заряда или рассматриваются такие характеристики, как коэффициенты захвата и концентрации рекомбинационных центров. В частности, в моделях [9–11] прямой ток при выполнении ряда условий, ограничивающих диапазоны напряжений (U) и температур (T), экспоненциально зависит от U и T : $J = J_0 \exp(qU/\beta kT)$, $J_0 = J_0^* \exp(-E_a/kT)$, коэффициент β от температуры не зависит и может принимать значения от 1 до 2 ($1 \leq \beta \leq 2$) для различных токов (далее прямые токи, подчиняющиеся этим зависимостям, называются термоинжекционными). Величина коэффициента β — один из основных идентификаторов механизма тока (вида тока).

Величина J_0 обратно пропорциональна времени жизни. Например, в одной из наиболее широко используемых моделей — модели Саа–Нойса–Шокли [10], рассматривающей ток, обусловленный рекомбинацией–генерацией в слое объемного заряда $p-n$ -перехода через глубокий уровень ($\beta = 2$) — $J_0 = qn_i L / \tau$, где n_i — собственная концентрация носителей заряда, $L = kT/qE$ — эффективная ширина области рекомбинации, E — напряженность электрического поля. Таким образом, представление о величине τ дает параметр J_0 вольт-амперной характеристики, а о температурной зависимости τ можно судить по измеряемой энергии активации E_a , учитывая температурные зависимости других параметров (n_i , L). Время жизни, определяемое по вольт-амперным характеристикам, далее называется стационарным (τ_{st}). С точки зрения оценки стационарного времени жизни рассматривались все типы $p-n$ -структур.

Прямыми способом определения времени жизни носителей заряда является исследование релаксационных характеристик, в частности токовых переходных характеристик при переключении диода из прямого направления на обратное. Время жизни, определяемое в этом случае, можно назвать релаксационным (τ_{rel}); τ_{rel} определялось в структурах СЭ и БЖЭ.

Данные о диффузионных длинах в структурах СЭ и БЖЭ получены при исследовании фотоэлектрических характеристик $p-n$ -структур и

¹ Структуры изготовлены М.М.Аникиным (структуры СЭ и эпитаксиальные слои, выращенные сублимацией), В.А.Дмитриевым (структуры БЖЭ и слои, выращенные бесконтейнерной жидкостной эпитаксией), А.В.Суворовым (ионная имплантация и отжиг при изготовлении структур ИЛ), С.В.Рендаковой (низкотемпературная жидкостная эпитаксия при изготовлении структур НТЖЭ), А.Л.Сыркиным (изготовление омических контактов и барьера Шоттки и формирование меза-структур для всех типов образцов $p-n$ -структур); исследования характера и степени легирования эпитаксиальных слоев на основе вольт-фарадных характеристик проведены А.А.Лебедевым и П.А.Ивановым.

диодов Шоттки (метод фототока), а также при измерении тока, индуцированного электронным зондом, в растревом электронном микроскопе (метод ТИЭЗ).

2. Время жизни и диффузионная длина при комнатной температуре

В исследовавшихся $p-n$ -структурных схемах, изготовленных разными технологическими методами, при прямом смещении и температурах выше комнатной обнаружены термоинжекционные токи. В диапазоне плотностей тока $J \approx 10^{-6} \div 10^{-3} \text{ A/cm}^2$ выделены токи с $\beta \approx 2$. При больших токах, по крайней мере до плотностей тока порядка 1 A/cm^2 , когда становится заметным падение напряжения на последовательном сопротивлении $p-n$ -структур и экспоненциальная зависимость тока от прикладываемого напряжения искажается, характеристический коэффициент β принимает некоторое промежуточное значение между 1 и 2. Обнаружено, что в разных структурах это значение близко одной из дробей: $3/2, 4/3, 6/5$ [12-14]. Такие термоинжекционные токи с дробными значениями β , вероятно, являются основными и при еще больших плотностях тока, о чем свидетельствует характерный вид зависимости интенсивности краевой инжекционной электролюминесценции от тока [13,15]. (Кроме рассматриваемых здесь токов выделены и другие, также экспоненциально связанные с напряжением, но при этом β зависит от температуры; такие токи интерпретированы как термотуннельные [16]).

Исследование токов одного вида, т.е. токов, характеризуемых одним и тем же значением β , выявило несовпадение вольт-амперных характеристик для структур, изготовленных различными методами или изготовленных на основе различных политипов SiC: характеристики сдвинуты друг относительно друга (рис. 1,а). Соответственно различаются величины предэкспоненциального множителя J_0 . В частности, для термоинжекционного тока, характеризуемого $\beta = 2$ при $T = 293 \text{ K}$, значения J_0 составляют для структур на основе политипа $6H\text{-SiC} \sim 10^{-23} \text{ A/cm}^2$ (БЖЭ) и $\sim 10^{-22} \text{ A/cm}^2$ (СЭ, ИЛ, НТЖЭ), а для структур на основе политипа $4H\text{-SiC} \sim 5 \cdot 10^{-25} \text{ A/cm}^2$ (СЭ) и $\sim (2 \div 3) \cdot 10^{-24} \text{ A/cm}^2$ (ИЛ) (см. [14,17]).

Для описания термоинжекционных токов нами использованы модели, рассматривающие ток, обусловленный рекомбинацией в слое объемного заряда $p-n$ -перехода, через одноуровневый ([10], $\beta = 2$) или многоуровневый ([11], $1 < \beta < 2$) центры. Модель тока [11] является обобщением модели [10]. Согласно [11], рекомбинационный многоуровневый (многовалентный) центр имеет две груши уровней — мелкие и глубокие. При выполнении ряда условий, определяющих соотношение сечений захвата на уровнях, диапазоны токов и температур, вольт-амперная характеристика должна иметь экспоненциальный участок вида $J = J_0 \exp(qU/\beta kT)$, где $\beta = (s+2d)/(s+d)$, s — число мелких уровней, d — число глубоких уровней. Таким образом, экспериментальное значение $\beta = 3/2$ свидетельствует о том, что рекомбинационный центр имеет один глубокий и один мелкий уровень; значение $\beta = 4/3$ говорит о том, что центр имеет один глубокий и два мелких уровня и т.д.

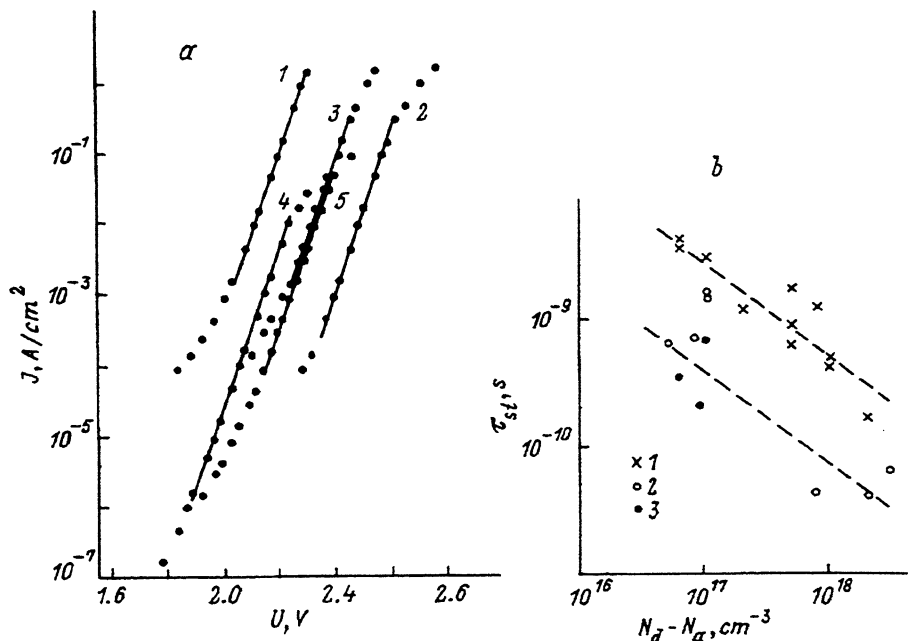


Рис. 1. а — прямые токи $J = J_0 \exp(qU/\beta kT)$, характеризуемые $\beta = 3/2$ [12]: 1 — структура ИЛ ($6H$ -SiC), 2 — структура ИЛ ($4H$ -SiC), (3-5) — структуры СЭ ($6H$ -SiC). б — стационарное время жизни τ_{st} , определенное согласно модели [10], при различных концентрациях $N_d - N_a$ для $p-n$ -структур на основе $6H$ -SiC [17]: 1 — БЖЭ, 2 — СЭ, 3 — ИЛ. Температура — комнатная.

Использование модели [10] в диапазоне токов, где $\beta = 2$, позволило рассчитать τ_{st} . Различие в величине J_0 в $p-n$ -структурах на основе $6H$ -SiC свидетельствует о том, что τ_{st} в структурах БЖЭ ($\sim 10^{-9}$ с) примерно на порядок больше τ_{st} в структурах СЭ и ИЛ ($\sim 10^{-10}$ с) (рис. 1, б) (полагаем, что в рамках одного политиша материал всех $p-n$ -структур характеризуется одной шириной запрещенной зоны E_g). Различие в величине J_0 в $p-n$ -структурах, изготовленных одним технологическим методом, но на основе разных поликристаллов SiC ($6H$ и $4H$) обусловлено в первую очередь различием в E_g . Количественную оценку τ_{st} в рамках модели [11] сделать сложнее, однако качественный результат такой же: время жизни в структурах БЖЭ больше, чем в структурах СЭ и ИЛ (а в структурах СЭ τ_{st} , возможно, больше, чем в структурах ИЛ).

Релаксационное время жизни (τ_{rel}) определялось при переключении диода из прямого направления на обратное. Измерительная установка характеризовалась временным разрешением не хуже 0.5 нс. Обнаружены характерные при таком способе измерения фаза сохранения и фаза быстрого спада обратного тока. Эмпирическая зависимость длительности фазы сохранения (длительности «полочки») t_s от соотношения прямого (I_f) и обратного (I_r) токов достаточно хорошо описывается выражением $t_s = \tau_{rel} \ln(1 + I_f/I_r)$. Величина t_s в структурах БЖЭ примерно на порядок больше величины t_s в структурах СЭ (рис. 2, а) при прочих равных условиях, а расчет τ_{rel} согласно приведенному выраже-

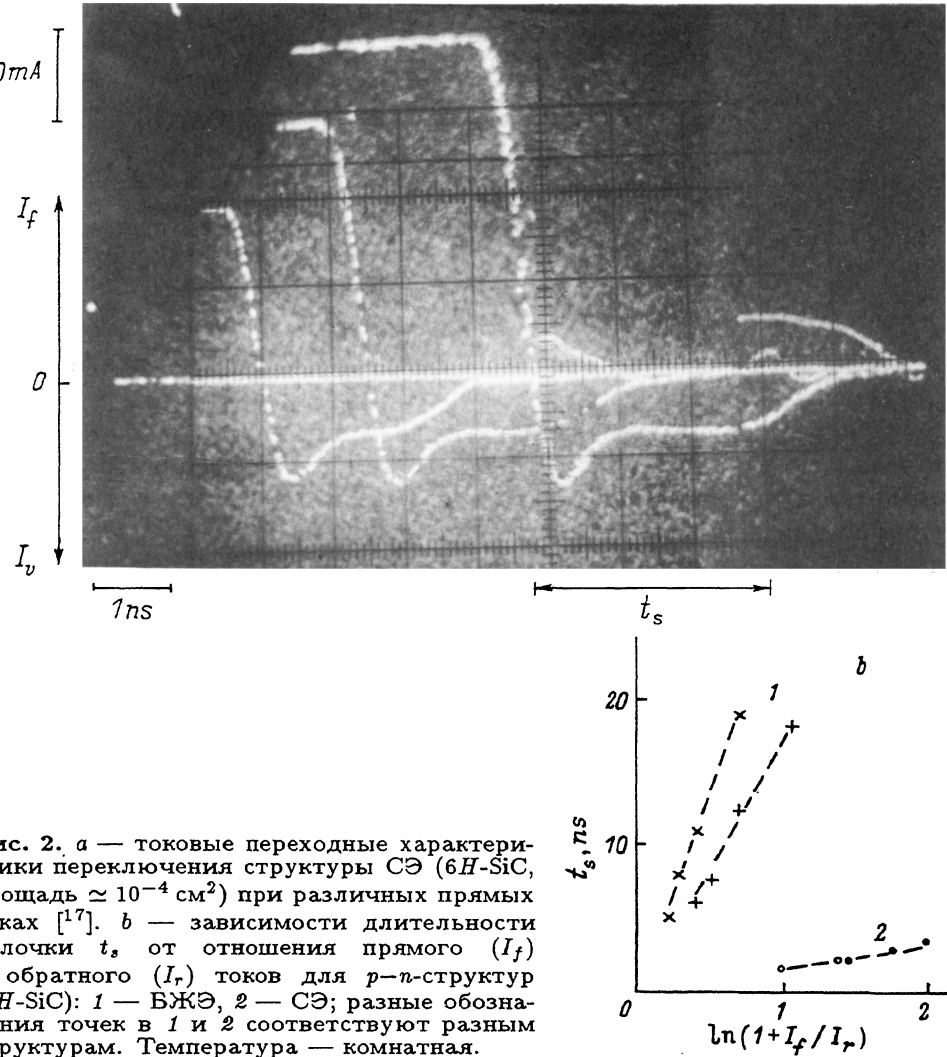


Рис. 2. а — токовые переходные характеристики переключения структуры СЭ ($6H\text{-SiC}$, площадь $\simeq 10^{-4} \text{ см}^2$) при различных прямых токах [¹⁷]. б — зависимости длительности полочки t_s от отношения прямого (I_f) и обратного (I_r) токов для $p\text{-}n$ -структур ($6H\text{-SiC}$): 1 — БЖЭ, 2 — СЭ; разные обозначения точек в 1 и 2 соответствуют разным структурам. Температура — комнатная.

нию дает значение ~ 2 нс в структурах СЭ и $\sim 20 \div 30$ нс в структурах БЖЭ (рис. 2, б).

При измерении диффузионной длины неравновесных носителей заряда методом фототока (диффузионная длина определялась из зависимости фототока от ширины слоя объемного заряда $p\text{-}n$ -перехода при возбуждении носителей слабо поглощающимся собственным светом) установлено, что сумма диффузионных длин дырок L_p и электронов L_n в структурах СЭ при степени легирования n -слоя в диапазоне $N_d - N_a = 10^{16} \div 10^{18} \text{ см}^{-3}$ составляет $L_p + L_n = 0.1 \div 0.4 \text{ мкм}$, в структурах БЖЭ при $N_d - N_a = 5 \cdot 10^{16} \div 5 \cdot 10^{17} \text{ см}^{-3}$ — $L_p + L_n = 0.4 \div 1.5 \text{ мкм}$.² Причем по крайней мере в структурах СЭ диффузионная длина умень-

² Обычно предполагается, что в $p^+ - n$ -структуратах $L_p + L_n \simeq L_p$ (см., например, [2]).

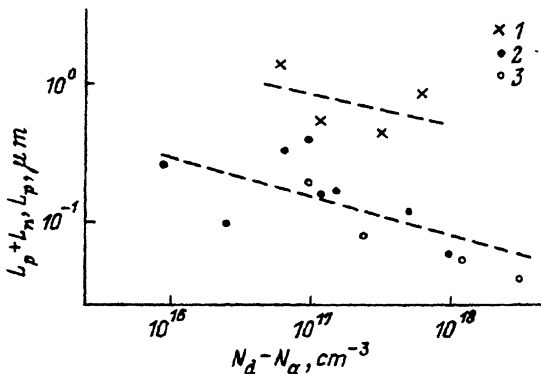


Рис. 3. Диффузионные длины ННЗ в 6H-SiC при различных концентрациях $N_d - N_a$ при комнатной температуре [18]: 1, 2 — $(L_p + L_n)$ в структурах БЖЭ (1) и СЭ (2), 3 — L_p , измеренная на барьерах Шоттки к слоям, выращенным сублимацией.

шается с ростом $N_d - N_a$ (рис. 3) [18]. При измерении L_p и L_n методом ТИЭЗ, позволяющим определить эти величины по отдельности, установлено, что при $N_d - N_a = (1 \div 8) \cdot 10^{17} \text{ см}^{-3}$ L_p в структурах БЖЭ находится в интервале $0.6 \div 1 \text{ мкм}$ и в $3 \div 7$ раз (в зависимости от концентрации акцепторной примеси в p -слое) превышает L_n .³ Измерения методом ТИЭЗ в структуре СЭ с $N_d - N_a \approx 3 \cdot 10^{17} \text{ см}^{-3}$ не позволили определить диффузионную длину, что связано, вероятно, с ее малой величиной и недостаточной разрешающей способностью метода (предел разрешения метода — около 0.2 мкм).

Подчеркнем, что стационарное время жизни характеризует рекомбинацию неравновесных носителей заряда в слое объемного заряда $p-n$ -перехода, диффузионная длина — рекомбинацию неосновных неравновесных носителей заряда в квазинейтральных областях $p-n$ -структур, релаксационное время жизни может характеризовать рекомбинацию как в слое объемного заряда⁴ так и в квазинейтральных областях.

3. Температурная зависимость времени жизни и диффузионной длины

Анализ прямых вольт-амперных характеристик в диапазоне температур $300 \div 800 \text{ К}$ показал, термоинжекционные токи одного вида (с одинаковым β) в $p-n$ -структурах, изготовленных различными методами, характеризуются не только разными J_0 при комнатной температуре, но и разными энергиями активации E_a (см. [14] и рис. 4, а). Для тока с $\beta = 2$, в частности, величина βE_a [эВ] составляет 3.14 в структурах ИЛ, 3.18 в структурах СЭ, 3.28 в структурах БЖЭ, 3.35 в структурах НТЖЭ — все на основе 6H-SiC, и 3.35 в структурах ИЛ, 3.44 в структурах СЭ — на основе 4H-SiC. Ошибка определения βE_a составляет приблизительно $\pm 0.03 \text{ эВ}$. В то же время величина J_0^* тока с $\beta = 2$ для различных структур примерно одинакова: $J_0^* \approx 10^5 \text{ А/см}^2$ (кроме структур НТЖЭ, для которых J_0^* больше). Таким образом, различие в величине J_0 при комнатной температуре можно считать следствием различия в энергии активации (для всех типов структур кроме НТЖЭ,

³ Сообщение В.А. Дмитриева (см. также [18]).

⁴ На это обратил внимание В.В. Евстропов.

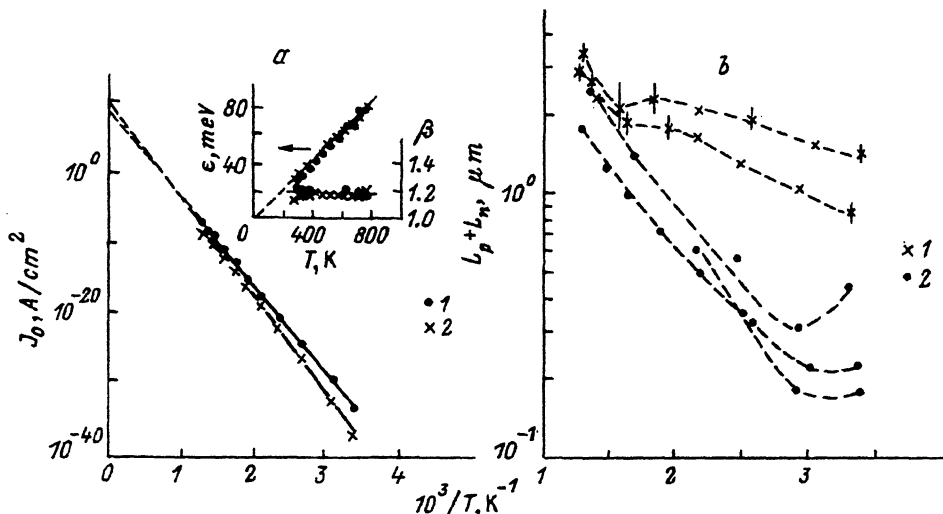


Рис. 4. а — температурные зависимости предэкспоненциального множителя J_0 термоинжекционного тока $J = J_0 \exp(qU/\beta kT)$, характеризуемого $\beta = 6/5$ [13] в структурах на основе 6H-SiC: 1 — ИЛ, 2 — БЖЭ; на вставке — характеристические коэффициенты β и значения энергии $\epsilon = \beta kT$. б — зависимости диффузионной длины $L_p + L_n$ ННЗ от температуры в структурах на основе 6H-SiC БЖЭ (1) и СЭ (2) [18].

для которых отличие в энергии активации компенсируется отличием в величине J_0^*). Те же закономерности характерны и для других термоинжекционных токов (с другими β). При принятом предположении, что в рамках одного политипа материал всех $p-n$ -структур характеризуется одной величиной E_g , различие в E_a (и βE_a) можно объяснить только введением времени жизни, зависящего от температуры в общем случае в различной степени для структур, изготовленных разными методами. Например, рассмотрим наиболее простой случай термоинжекционного тока с $\beta = 2$ [10]. Такой ток обусловлен рекомбинацией через одноуровневый центр, причем в области температур, в которой существует экспоненциально зависящий от напряжения прямой ток с $\beta = 2$, рекомбинационный уровень является глубоким. В этом случае температурная зависимость времени жизни обусловлена температурными зависимостями некоторого эффективного сечения захвата σ_{eff} на уровень и тепловой скорости носителей заряда, а различия в степени температурной зависимости времени жизни разных структур обусловлены только различиями температурных зависимостей σ_{eff} . В результате сравнения экспериментального и модельного значений βE_a при учете всех явных как сильных, так и слабых температурных зависимостей параметров модели обнаружено, что время жизни растет с ростом температуры во всех структурах и, в частности, в структурах СЭ $\sigma_{\text{eff}} \sim T^3$ (или $\sigma_{\text{eff}} \sim \exp(-0.06/kT)$), а в структурах БЖЭ $\sigma_{\text{eff}} \sim T^{-1.5}$ (или $\sigma_{\text{eff}} \sim \exp(-0.03/kT)$) [14]. Описание прямых токов, подчиняющихся модели [10], при высоких температурах ($700 \div 800$ K, когда зависимость тока от напряжения уже не экспоненциальна и $\beta \neq 2$) позволило уточнить положение глубокого уровня: по-видимому, он отстоит от

середине запрещенной зоны (точнее, от уровня Ферми в собственном полупроводнике) не более чем на 0.1 эВ [14].

Здесь же можно отметить, что при высоких температурах ($700 \div 800$ К) в структурах СЭ с $N_d - N_a \simeq 10^{17}$ см⁻³ удалось обнаружить некоторые признаки генерационного тока, описываемого моделью [10]. Об этом свидетельствуют вид и тенденция изменения с температурой обратной вольт-амперной характеристики ($J \sim U^m$, где m хотя и больше 0.5, но уменьшается с ростом температуры от $m = 1$ при 600 К до $m = 0.7 \div 0.8$ при 800 К), энергия активации обратного тока (около 1.5 эВ), абсолютные величины обратных токов (напряжению $U = 100$ В соответствуют $J \sim 10^{-5}$ А/см² при $T \simeq 700$ К и $J \sim 10^{-4}$ А/см² при $T \approx 800$ К). По-видимому, генерационный ток составляет значительную долю в общем обратном токе (вольт-амперные характеристики см. в работе [19]). Оценка времени жизни при $T = 700 \div 800$ К показывает, что $\tau_{st} \simeq (0.6 \div 1) \cdot 10^{-8}$ с.

Модель [11], описывающая термоинжекционные токи при больших уровнях инжекции (токи с $1 < \beta < 2$), рассматривает рекомбинацию через многоуровневый (многовалентный) центр, имеющий один глубокий, нетермализованный, и один или несколько мелких, термализованных, уровней; причем основной рекомбинационный поток идет через мелкие уровни. Глубоким, нетермализованным, назван уровень, интенсивность тепловых забросов с которого преонебрежимо мала по сравнению с интенсивностью захватов; мелким, термализованным, назван уровень, находящийся в тепловом равновесии с зоной, т.е. интенсивность тепловых забросов с такого уровня примерно равна интенсивность захватов (см. [11-13]). Термализацией уровня далее называется процесс увеличения с ростом температуры доли тепловых забросов (генерационного потока) по отношению к интенсивности захватов (рекомбинационному потоку). Время жизни при рекомбинации через многоуровневый центр также растет с температурой (в структурах СЭ сильнее, чем в структурах БЖЭ). Анализ экспериментально наблюдаемых токов с помощью модели [11] показывает, что глубина мелких уровней рекомбинационного центра — около 100÷200 мэВ [14] (причем для структур БЖЭ меньше, чем для структур СЭ; температурная зависимость эффективных сечений захвата полагалась при этом такой же, как для тока, описываемого моделью [10]).

Исследование методом фототока температурной зависимости диффузионной длины ННЗ показало, что при увеличении температуры диффузионная длина растет до 2÷3 мкм при 800 К, как в структурах СЭ, так и в структурах БЖЭ, т.е. рост в структурах СЭ оказывается более сильным ([18], рис. 4, б). Исключением являются относительно небольшие температурные диапазоны вблизи комнатной температуры для структур СЭ и в области около 600 К для структур БЖЭ, в которых диффузионная длина не изменяется или несколько уменьшается при увеличении температуры. Если рост диффузионной длины описывать термоактивационной зависимостью, то энергия активации для структур СЭ в диапазоне температур 350÷800 К составляет 120 мэВ, для структур БЖЭ в диапазоне температур 300÷600 К — около 50÷60 мэВ. Рост диффузионной длины проявляется в интегральном росте фототока при увеличении температуры.

4. Сравнение с литературными данными и обсуждение результатов

Стационарное время жизни. Многими исследователями в $p-n$ -структуратах на основе 6H-SiC наблюдался прямой ток $J = J_0 \times \exp(q\bar{U}/\beta kT)$, характеризуемый $\beta \approx 2$ (часто только при комнатной температуре). В ряде работ приводятся значения предэкспоненциального множителя этого тока $J_0 [\text{A}/\text{см}^2]$: $\sim 2 \cdot 10^{-20}$ [20], $\sim 10^{-19}$ [21], $2 \cdot 10^{-20} \div 10^{-19}$ [22], $10^{-22} \div 10^{-23}$ [23]. В [24] величина J_0 не указана, но ее оценка по вольт-амперной характеристике, представленной в этой работе, показывает, что $J_0 \sim 10^{-22} \text{ A}/\text{см}^2$. Все данные приведены для комнатной температуры.

Оценка стационарного времени жизни производилась с помощью моделей [10] или [25]. В работе [21] показано, что $\tau_{st} < 4 \cdot 10^{-8} \text{ с}$ (в этой же работе при описании фотовольтаических характеристик установлено, что $\tau_{st} \simeq 4 \cdot 10^{-10} \text{ с}$). Только в двух работах предпринята попытка определения температурной зависимости τ_{st} (с помощью модели [10]). В работе [26] сравнение экспериментальных вольт-амперных характеристик с модельными показало, что время жизни при $T = 293 \text{ К}$ лежит в пределах $10^{-9} \div 10^{-10} \text{ с}$ и возрастает до $\tau_{st} = 10^{-8} \div 10^{-9} \text{ с}$ при нагреве до $T = 800 \text{ К}$. В работе [27] говорится, что при комнатной температуре $\tau_{st} \simeq 3.8 \cdot 10^{-10} \text{ с}$ и с увеличением температуры эта величина, по-видимому, имеет тенденцию к увеличению.

Токи с $1 < \beta < 2$ наблюдались во многих работах, причем в тех работах, где приведены температурные зависимости вольт-амперных характеристик, в большинстве случаев параметр β зависел от температуры (т.е. ток не являлся термоинжекционным). Указанные токи детально не исследовались, и часто не получали ни количественного описания, ни качественной интерпретации. Диффузионный ток Шокли [9], т.е. ток, обусловленный рекомбинацией в кванзинейтральных областях $p-n$ -структур, экспоненциально зависящий от напряжения и характеризуемый $\beta = 1$, в $p-n$ -структуратах из карбида кремния в явном виде практически не наблюдался. Данное обстоятельство подчеркивает важность задачи исследования рекомбинации в слое объемного заряда $p-n$ -перехода SiC-структур.

Итак, литературные данные по рассматриваемому вопросу не противоречат описанным выше результатам. Исследование более тонких эффектов, например связи J_0 и τ_{st} с технологией изготовления структур, ранее, по-видимому, не проводилось, а осуществить сравнение по литературным данным затруднительно, поскольку для этого важно знание точных значений температуры, коэффициента β и других условий определения J_0 и расчета τ_{st} , а эти значения не всегда приводятся. Однако, как было показано выше, определение (или хотя бы сравнение) рекомбинационных характеристик по вольт-амперным характеристикам $p-n$ -структур не только возможно, но и представляет интерес.

Релаксационное время жизни в большинстве работ определялось как постоянная времени затухания электролюминесценции при импульсной инжекции носителей заряда в $p-n$ -переходах и точечных контактах на 6H-SiC. В работе [28] установлено, что релаксационное вре-

мя жизни дырок составляет $\tau_p = 2 \cdot 10^{-9} \div 2 \cdot 10^{-7}$ с. Согласно [29] τ_p не превышает 0.4 мкс, нижний предел 0.01 мкс определялся пределом разрешения измерительной установки. В [30] указано τ_p , определенное по затуханию электролюминесценции на начальном участке быстрого спада: $\tau_p = 10^{-8} \div 10^{-7}$ с. В работах [31, 32] время жизни определялось по частотным характеристикам интенсивности электролюминесценции при возбуждении контакта металл–полупроводник синусоидальным напряжением. Согласно [31] релаксационное время жизни дырок $\tau_p = (1 \div 4) \cdot 10^{-7}$ с, релаксационное время жизни электронов $\tau_n = (4 \div 9) \cdot 10^{-9}$ с; согласно [32] $\tau_p = 8 \cdot 10^{-9} \div 2 \cdot 10^{-8}$ с. В работах [3, 33] исследованы токовые переходные характеристики. В [33] указывается, что длительность первой фазы обратного тока — полочки — была малой (время разрешения установки не превышало 4 нс); величина τ_p , определенная по участку спада обратного тока, составила $4 \div 15$ нс. В работе [3] расчет τ_p производился по длительности полочки обратного тока. В диапазоне температур $300 \div 800$ К исследовались два типа диодов, различающихся базовым материалом n -типа проводимости: A — промышленные монокристаллы с $N_d - N_a \simeq 2 \cdot 10^{18}$ см $^{-3}$, B — эпитаксиальные пленки с $N_d - N_a \simeq 2 \cdot 10^{17}$ см $^{-3}$. В образцах типа A при комнатной температуре τ_p лежит в пределах $24 \div 170$ нс и не зависит от температуры или уменьшается с температурой как $\tau_p \sim T^{-1}$. В образцах типа B при комнатной температуре $\tau_p = 7 \div 20$ нс и не изменяется при нагреве до температур $100 \div 200$ °C, затем начинает расти как $\tau_p \sim T^{2.2 \div 2.6}$. Кроме того, делается вывод, что в диодах, в которых p -слой формировался методом ионной имплантации алюминия с последующим термическим отжигом, величины τ_p меньше, чем в эпитаксиальных диодах, полученных на аналогичных подложках. Результаты измерений интерпретируются в рамках теории каскадного захвата при наличии электрического поля, которое обусловлено, вероятно, внутренними деформациями. Эти деформации возникают, как предполагают авторы, при эпитаксиальном наращивании p^+ (Al)-слоя. Наличием электрического поля объясняется и факт несоответствия величин времен жизни и диффузионных длин в одних и тех же структурах: при наблюдаемых диффузионных длинах τ_p должно быть не более 10^{-9} с (при $\mu_p \approx 10$ см 2 /В · с).

В целом можно сделать следующий вывод: релаксационные времена жизни характеризуются значительным разбросом и лежат в диапазоне $2 \cdot 10^{-9} \div 10^{-7}$ с. Такой значительный разброс, надо полагать, в какой-то степени, отражает сложность измерения и неоднозначность интерпретации релаксационных характеристик не только для люминесценции, для различных полос которой характерны различные времена затухания (в работе [34], кроме того, указывается на влияние уровней прилипания в SiC на кинетику различных процессов), но и для тока. Как уже отмечалось, специального исследования требует ответ на вопрос, рекомбинацию в какой области характеризует τ_{rel} при больших плотностях тока, $\sim 10^2 \div 10^3$ А/см 2 ; ток по крайней мере до плотностей ~ 1 А/см 2 (а, вероятно, и значительно больших) обусловлен рекомбинацией в слое объемного заряда.

Найденные нами времена релаксации близки к минимальным из всех ранее наблюдавшихся. Если предположить, что они характеризуют время жизни неосновных носителей заряда при рекомбинации в квазинейтральных областях $p-n$ -структур, то с учетом соответствующих величин диффузионных длин (см. п. 2) подвижность дырок в n -базе структур как СЭ, так и БЖЭ составит $\mu_p^n = 5 \div 20 \text{ см}^2/\text{В} \cdot \text{с}$, что близко к подвижности дырок как основных носителей ($\mu_p^p = 4 \div 50 \text{ см}^2/\text{В} \cdot \text{с}$). Указанное соответствие позволяет избежать дополнительных предположений для согласования L_p и τ_p (в частности, учета электрических полей). Следует, однако, отметить, что установленный авторами [3] для структур с минимальным при комнатной температуре временем жизни характерный вид зависимости $\tau(T)$ (постоянство до $100 \div 200^\circ\text{C}$ и последующий рост) напоминает зависимость $L(T)$ в структурах СЭ.

Диффузионная длина. Наиболее полные исследования диффузионных длин ННЗ осуществлены методом фототока и представлены в [1, 2]. В работе [1] установлено, что диффузионная длина дырок L_p в монокристаллах n -SiC с $N_d - N_a = 3.9 \cdot 10^{16} \div 1.84 \cdot 10^{18} \text{ см}^{-3}$, выращенных по методу Лели, не зависит от уровня легирования и лежит в пределах $0.04 \div 0.1 \text{ мкм}$ (т.е. τ_p не превышает $(2 \div 4) \cdot 10^{-10} \text{ с}$ при $\mu_p = 10 \div 20 \text{ см}^2/\text{В} \cdot \text{с}$). Отжиг кристаллов при 1750°C приводит к увеличению L_p более чем в 3 раза (до $0.1 \div 0.27 \text{ мкм}$); следствием закалки является резкое уменьшение L_p (до $0.002 \div 0.01 \text{ мкм}$). Авторами работы [2], в которой исследовались как эпитаксиальные слои, так и монокристаллы, обнаружено, что в эпитаксиальных пленках, выращенных сублимацией, L_p лежит в диапазоне $0.1 \div 0.7 \text{ мкм}$ и при $N_d - N_a > 2 \cdot 10^{17} \text{ см}^{-3}$ L_p падает с ростом $N_d - N_a$ по закону $\lg L_p = (-1/2) \lg(N_d - N_a)$, а при $N_d - N_a < 2 \cdot 10^{17} \text{ см}^{-3}$ изменяется слабо. В монокристаллах, выращенных по методу Лели, L_p не зависит от $N_d - N_a$ и в $5 \div 10$ раз меньше, чем в эпитаксиальных пленках. В структурах, изготовленных жидкостной эпитаксией ([35]), измерениями методом ТИЭЗ определены значения $L_n = 1.6 \text{ мкм}$, $L_p = 0.85 \text{ мкм}$. Вопрос о температурной зависимости L_p ставится в работе [36]; в результате анализа диффузионной составляющей фототока барьеров Шоттки показано, что зависимость $L_p(T)$ немонотонна: при нагреве от 77 до 270 K L_p растет, в диапазоне температур $270 \div 290 \text{ K}$ падает и затем опять растет (исследования проведены до температуры 330 K).

Сравнение различных экспериментальных данных по диффузионным длинам ННЗ в SiC показывает, что эта характеристика полупроводника наиболее устойчиво и поэтому, скорее всего, наиболее достоверно отражает особенности рекомбинационных свойств материала: данные разных авторов по величинам L_p и результаты исследования различными методами достаточно хорошо согласуются между собой. Исследования структур СЭ и БЖЭ подтверждают даже немонотонный характер изменения L_p с температурой, отмеченной в работе [36] (в структурах СЭ и БЖЭ эффект уменьшения L с ростом T наблюдается при более высоких температурах: по-видимому, эти температуры тем выше, чем больше диффузионная длина). Следует отметить, что диффузионная длина неосновных носителей определяется не только их временем жизни, но и подвижностью. Однако маловероятно, что раз-

личие μ в структурах с одним и тем же $N_d - N_a$ настолько велико, что определяет различие в L , — в этом случае подвижности должны были бы отличаться на порядок и более. Температурный рост диффузионной длины можно связывать только с ростом времени жизни неосновных носителей при рекомбинации в квазинейтральных областях $p-n$ -структур, поскольку в рассматриваемом диапазоне температур подвижность носителей заряда в SiC уменьшается при увеличении температуры. Рост времени жизни ННЗ в свою очередь может быть обусловлен температурной зависимостью сечения захвата (ее уменьшением при увеличении температуры) или (и) термализацией мелкого уровня (глубиной, примерно равной удвоенной энергии активации L , т.е. около 100 мэВ для структур БЖЭ и около 250 мэВ для структур СЭ), а при температуре вблизи комнатной еще и ростом концентрации равновесных основных носителей заряда n_n из-за достаточно большой энергии ионизации основной донорной примеси — азота. Как косвенное свидетельство того, что рекомбинационный центр мелкий, можно рассматривать факт зависимости L от $N_d - N_a$, поскольку для мелкого центра $L \sim 1/n_n^{1/2}$ [37]. (Следует сказать, что экспериментальная зависимость L от $N_d - N_a$ может иметь и другие объяснения — например, она может быть обусловлена зависимостью от $N_d - N_a$ подвижности неосновных носителей или концентрации рекомбинационных центров).

Температурная зависимость времени жизни. Итак, стационарное время жизни по результатам двух-трех работ, включая данную, растет с ростом температуры. Время жизни неосновных носителей, рассчитываемое по их диффузионным длинам и характеризующее рекомбинацию в квазинейтральных областях, в целом растет, но, возможно, немонотонно (по данным двух работ). Наиболее неоднозначны результаты исследования температурной зависимости релаксационного времени жизни [3].

Кроме того, следует отметить, что изучение в работе [26] взаимодействия $p-n$ -переходов на SiC со светом и частицами высокой энергии в диапазоне температур 200–700 °С позволило сделать вывод, что с ростом температуры происходит изменение формы спектра и возрастание чувствительности $p-n$ -структур, обусловленное увеличением с температурой времени жизни (диффузионной длины) ННЗ. Повышение эффективности сабирания SiC-счетчиков α -частиц и фоточувствительности SiC-детекторов ультрафиолетового излучения с ростом температуры наблюдалось в [38] и [39] соответственно; в работе [40], однако, обнаружено уменьшение фоточувствительности.

В структурах СЭ и БЖЭ фоточувствительность при увеличении температуры растет. Рост интенсивности краевой инжекционной электролюминесценции в структурах СЭ и БЖЭ при увеличении температуры (энергия активации этого процесса в структурах БЖЭ около 100 мэВ [13, 15]) также в какой-то степени может являться следствием роста времени жизни (диффузионной длины) ННЗ.

Таким образом, основной тенденцией изменения времени жизни с температурой в диапазоне 300–800 К является, по-видимому, рост времени жизни с ростом температуры.

Рекомбинационные уровни. Исследование прямых и обратных токов в $p-n$ -структурных из SiC показало, что существуют как глубокие рекомбинационные уровни вблизи середины запрещенной зоны, так и

многоуровневые рекомбинационные центры, включающие мелкие рекомбинационные уровни (глубиной $0.1 \div 0.2$ эВ).

Результаты исследования диффузионных длин также позволяют предположить наличие мелких рекомбинационных уровней или многоуровневого центра (с мелкими уровнями глубиной $0.1 \div 0.3$ эВ) и (или) существование температурной зависимости сечений захвата центров рекомбинации.

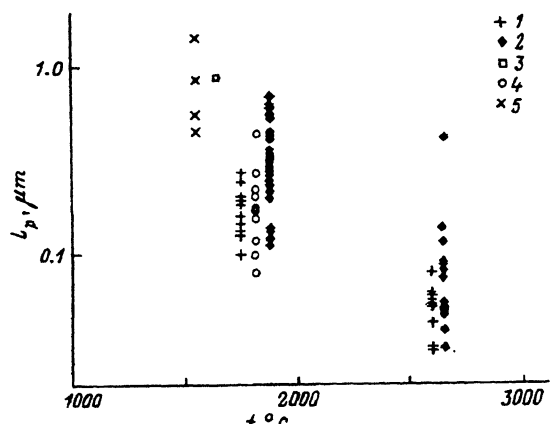
Возможно, что во всех исследовавшихся процессах (или в некоторых из них) проявляется один и тот же рекомбинационный центр (многоуровневый). Об этом могло бы свидетельствовать, в частности, наличие особенностей температурной зависимости стационарного времени жизни, аналогичных особенностям зависимости $L(T)$, однако уловить из для τ_{st} трудно.

Методом DLTS были проведены исследования уровней в запрещенной зоне в структурах СЭ, ИЛ и БЖЭ. Выдвинуто предположение, что основными рекомбинационными уровнями могут являться R -уровень ($E_c - 1.27$ эВ) и S -уровень ($E_c - 0.35$ эВ) [17].⁵

Природа центров рекомбинации. Совокупность рассмотренных результатов исследования диффузионной длины и времени жизни ННЗ в структурах, изготовленных разными методами, свидетельствует в пользу предположения авторов [1] о том, что существует связь указанных параметров с одной из главных характеристик технологического процесса — температурой роста эпитаксиального слоя (моноцисталла) или температурой отжига: как правило, время жизни (диффузионная длина) ННЗ больше, а его увеличение с ростом температуры слабее в структурах, изготовленных при более низких температурах (рис. 5, 4, б) (на рис. 5 указаны все значения L ; учет зависимости L от $N_d - N_a$ несколько уменьшил разброс L).

Понятно, что предполагаемая зависимость от характерной температуры технологического процесса должна опосредованно отражать зависимость от некоторых физических свойств кристалла SiC, которые определяются температурой изготовления. Авторы [1] предполагали, что часть центров, отвечающих за рекомбинацию, обусловлена собственными термодефектами, причем наличие таких центров

Рис. 5. Диффузионная длина дырок в 6H-SiC при комнатной температуре: 1 — данные работы [1], 2 — данные работы [2], 3 — данные работы [35], 4 — структуры СЭ, 5 — структуры БЖЭ. Для всех структур $10^{16} < N_d - N_a < 10^{18} \text{ см}^{-3}$. По оси абсцисс отложена характерная температура технологического процесса (температура роста моноцисталла или эпитаксиального слоя или температура отжига).



⁵ Исследования уровней методом DLTS проведены А.А.Лебедевым.

может определяться неравновесными условиями охлаждения кристаллов. Термодефекты в n -SiC, вводимые закалкой, исследовались методом электронного парамагнитного резонанса (ЭПР) в работе [41]; для одного из центров предложена модель в виде изолированной вакансией углерода.

С другой стороны, на вероятную связь безызлучательного рекомбинационного центра, определяющего время жизни ННЗ, с собственным структурным дефектом кристаллической решетки полупроводника указывают авторы работ, исследовавших токи, обусловленные рекомбинацией через многовалентный центр в GaAs-, GaP-, GaAlAs-структурах. Этот вывод делается на основании общего представления о том, что появление таких характерных токов и, следовательно, такого вида рекомбинационных центров (многовалентных и, вероятно, близких по природе) не зависит от технологии, вида излучательной примеси, зонного спектра для варизонных структур и гетероструктур, степени легирования.

Как уже говорилось, сечение захвата рекомбинационного центра (по крайней мере центра, создающего уровень в середине запрещенной зоны), вероятно, зависит от температуры, причем по-разному для структур, изготовленных разными методами. Для центра, создающего мелкий уровень, или для многоуровневого центра способ изготовления структуры (температура технологического процесса?) влияет на положение (глубину) мелких уровней в запрещенной зоне. Можно предположить, что именно эти различия в температурной зависимости σ_{eff} или в положении уровней в основном и определяют различия в величинах времени жизни в разных типах структур (хотя не исключается различие и концентраций рекомбинационных центров). Например, один и тот же с точки зрения количества уровней и величины β термоинжекционного тока многоуровневый центр несколько по-разному проявляется в структурах, изготовленных разными технологическими методами.

В данной связи интересно предположение авторов работы [42], которое представляется некоторой аналогией сказанному. В работе методом ЭПР исследовались свойства центров, возникающих в SiC при облучении нейtronами и α -частицами. Авторы пишут, что большое сходство между спектрами ЭПР говорит о возможном подобии структур соответствующих центров; возможно, что это один и тот же дефект (рассматривается пара «вакансиya углерода-атом внедрения углерода в середине направленной связи»), только различным образом ориентированный относительно цепочек атомов.

Зависимость времени жизни от $N_d - N_a$, т.е. от концентрации азота, заметная для стационарного времени жизни и возможная, но пока остающаяся под вопросом, для времени жизни, рассчитываемого по диффузионной длине, позволяет предположить, что наличие азота в какой-то степени способствует возникновению собственного дефекта (в работе [2] предполагается, что при $N_d - N_a > 2 \cdot 10^{17} \text{ см}^{-3}$ время жизни дырок может задаваться центрами, связанными с азотом).

Таким образом, новые экспериментальные данные позволяют с большим основанием говорить о зависимости вида и параметров центров рекомбинации в SiC от температуры технологического процесса и о их возможной связи со структурными дефектами кристаллической решетки.

5. Заключение

Обобщая результаты изучения времени жизни (диффузионной длины) ННЗ в исследовавшихся $p-n$ -структур на основе $6H\text{-SiC}$, изготовленных разными технологическими методами, можно заключить, что в независимости от того, рекомбинацию в какой области характеризует время жизни (в слое объемного заряда или в квазинейтральных областях $p-n$ -структуре):

— время жизни ННЗ при комнатной температуре в структурах БЖЭ примерно на порядок больше, чем в структурах СЭ;

— при увеличении температуры (в диапазоне $300\div800\text{ K}$) время жизни увеличивается во всех структурах, но по-разному и, в частности, в структурах СЭ сильнее, чем в БЖЭ;

— в качестве основных рекомбинационных уровней в различных условиях могут проявляться глубокие уровни или (и) уровни многоуровневого центра или (и) мелкие уровни, а зависимость времени жизни от температуры обусловлена температурной зависимостью эффективного сечения захвата или (и) термализацией мелких уровней.

В заключение выражаю глубокую благодарность В.В.Евстропову, осуществлявшему постановку задачи по исследованию прямого тока $p-n$ -структур на SiC и руководившему исследованием термоинженерных токов, обусловленных рекомбинацией через многоуровневые центры, А.С.Зубрилову за помощь при измерении релаксационных характеристик, В.А.Соловьеву за измерение диффузионных длин методом ТИЭЗ, Г.Н.Виолиной, прочитавшей рукопись и сделавшей ряд учтенных мною замечаний. Благодарю В.Е.Челнокова за интерес к работе.

Работа выполнена при частичной поддержке Министерства обороны США.

Список литературы

- [1] В.С. Балландович, Г.Н. Виолина. ФТП, **15**, 1650 (1981).
- [2] В.И. Санкин, Р.Г. Веренчикова, Ю.А. Водаков, М.Г. Рамм, А.Д. Роенков. ФТП, **16**, 1325 (1982).
- [3] А.В. Наумов, В.И. Санкин. ФТП, **23**, 1009 (1989).
- [4] М.М. Аникин, Н.Б. Гусева, В.А. Дмитриев, А.Л. Сыркин. Изв. АН СССР. Неогр. матер., **10**, 1768 (1984).
- [5] М.М. Аникин, А.А. Лебедев, И.В. Попов, В.Е. Севостьянов, А.Л. Сыркин, А.В. Суворов, В.Е. Челноков, Г.П. Шпынцев. Письма ЖТФ, **10**, 1053 (1984).
- [6] В.А. Дмитриев, П.А. Иванов, И.В. Коркин, Я.В. Морозенко, И.В. Попов, Т.А. Сидорова, А.М. Стрельчук, В.Е. Челноков. Письма ЖТФ, **11**, 238 (1985).
- [7] V.A. Dmitriev, L.B. Elfimov, N.D. P'inskaya, S.V. Rendakova. Springer Proc. in Phys., **56**, 307 (1992).
- [8] В.И. Левин, Ю.М. Таиров, М.Г. Траваджян, В.Ф. Цветков, М.А. Чернов. Изв. АН СССР. Неогр. матер., **14**, 1062 (1978).
- [9] В.Шокли. Теория электронных полупроводников. Приложение к теории транзисторов (М., Мир, 1953).
- [10] S.T. Sah, R.N. Noyce, W. Shockley. Proc. IRE, **45**, 1228 (1957).
- [11] В.В. Евстропов, К.В. Киселев, И.Л. Петрович, В.В. Шаренков. ФТП, **18**, 1852 (1984).
- [12] М.М. Аникин, В.В. Евстропов, И.В. Попов, В.П. Растворов, А.М. Стрельчук, А.Л. Сыркин. ФТП, **23**, 647 (1989).

- [13] М.М. Аникин, В.В. Евстропов, И.В. Попов, А.М. Стрельчук, А.Л. Сыркин. ФТП, **23**, 1813 (1989).
- [14] А.М. Стрельчук. Автореф. дисс. (С.-Петербург, ФТИ им.А.Ф.Иоффе, 1992).
- [15] М.М. Аникин, А.М. Стрельчук, А.Л. Сыркин, В.Е. Челноков, А.Е. Черенков. ФТП, **28**, 284 (1994).
- [16] V.V. Evstropov, A.M. Strel'chuk, A.L. Syrkin, V.E. Chelnokov. Inst. Phys. Conf. Ser., N 137, 589 (1993).
- [17] М.М. Аникин, А.С. Зубрилов, А.А. Лебедев, А.М. Стрельчук, А.Е. Черенков. ФТП, **25**, 479 (1991).
- [18] M.M. Anikin, A.A. Lebedev, S.N. Pyatko, V.A. Soloviev, A.M. Strel'chuk. Springer Proc. in Phys., **56**, 269 (1992).
- [19] М.М. Аникин, А.А. Лебедев, И.В. Попов, В.П. Растворов, А.М. Стрельчук, А.Л. Сыркин, Ю.М. Таиров, В.Ф. Цветков, В.Е. Челноков. ФТП, **22**, 298 (1988).
- [20] L. Patrick. J. Appl. Phys., **28**, 765 (1957).
- [21] C.A.A.J. Greebe. Phil. Rep. Suppl., **1**, 1, (1963).
- [22] В.И. Павличенко, И.В. Рыжиков. В сб.: *Физика электронно-дырочных переходов и полупроводниковых приборов* (Л., 1969) с. 326.
- [23] Э.Е. Виолин, Г.Ф. Холуянов. ФТТ, **6**, 593 (1964).
- [24] J.A. Edmond, H.-S. Kong, C.H. Carter. Physica B, **185**, 453 (1993).
- [25] R.N. Hall. Proc. IRE, **40**, 1512 (1952).
- [26] Г.Н. Виолина. Автореф. дисс. (Л., ЛЭТИ, 1966).
- [27] Г.Ф. Лымарь, Ю.В. Поликанов. В сб.: *Карбид кремния* (Киев, 1966) с. 232.
- [28] L. Patrick, W.J. Choyke. J. Appl. Phys., **30**, 236 (1959).
- [29] W.T. Eriksen. In: *Proc. of the Conf. on Silicon Carbide* (Pergamon Press, 1960) p. 376.
- [30] И.В. Рыжиков, В.И. Павличенко, Т.Г. Кмита. В сб.: *Карбид кремния* (Киев, 1966) с. 308.
- [31] G.G. Hartman, R.L. Raybold. J. Appl. Phys., **32**, 1168 (1961).
- [32] Г.Ф. Холуянов. ФТТ, **4**, 3170 (1962).
- [33] К.Д. Демаков, В.С. Иванов, В.Г. Столярова, В.М. Тараков. ФТП, **12**, 1085 (1978).
- [34] В.Г. Воронин, А.А. Глухарев, В.И. Павличенко, Б.В. Пронин, И.В. Рыжиков, Ю.М. Сулайманов. Электрон. техн., сер. 2, **3**, 24 (1970).
- [35] M. Ikeda, T. Haykawa, S. Yamagawa, H. Matsunami, T. Tanaka. J. Appl. Phys., **50**, 8215 (1979).
- [36] В.С. Балландович, Г.Н. Виолина. В сб.: *Проблемы физики и технологии широкозонных полупроводников* (Л., 1980) с. 293.
- [37] С.М. Рывкин. *Фотоэлектрические явления в полупроводниках* (М., Гос. изд. физ.-мат. лит., 1963).
- [38] P.C. Sapera, P. Malinaric, R.B. Campbell, J. Ostroski. IEEE Trans. Nucl. Sci., **NS-11**, 262 (1964).
- [39] Р.Б. Кэмпбелл, Х.С. Берман. В сб.: *Карбид кремния* (М., 1972) с. 231.
- [40] R.B. Campbell, H.-C. Chang. Sol. St. Electron., **10**, 949 (1967).
- [41] А.И. Вейнгер, В.А. Ильин, Ю.М. Таиров, В.Ф. Цветков. ФТП, **13**, 2366 (1979).
- [42] Н.М. Павлов, М.И. Иглицын, М.Г. Косаганова, В.Н. Соломатин. ФТП, **9**, 1279 (1975)

Редактор Л.В. Шаронова

Lifetimes and diffusion lengths of non-equilibrium carriers in SiC *p-n* structures

A.M.Strel'chuk

A.F.Ioffe Physicotechnical Institute, Russian Academy of Sciences, 194021 St.Petersburg,
Russia